

Um algoritmo polinomial para construção de um modelo de intervalo para grafos de intervalo

Ana Carlyne Pereira de Souza¹ Julliano Rosa Nascimento¹

¹Instituto de Informática – Universidade Federal de Goiás (UFG)
Caixa Postal 131 – 74001-970 – Goiânia – GO – Brasil

ana.carolyne@discente.ufg.br, jullianonascimento@ufg.br

Abstract. We explored some fundamental properties of interval graphs, such as the absence of cycles with four or more vertices and asteroidal triples. Based on these properties, given an interval graph G , we developed a polynomial algorithm that uses the perfect elimination scheme characteristic of chordal graphs, obtained through the lexicographic breadth-first search algorithm, to construct an interval model for an interval graph G .

Resumo. Exploramos algumas propriedades fundamentais de grafos de intervalo, como a ausência de ciclos com quatro ou mais vértices e triplas asteroidais. Com base nessas propriedades, dado um grafo de intervalo G , desenvolvemos um algoritmo polinomial que usa o esquema de eliminação perfeita próprio dos grafos cordais, obtido através do algoritmo de busca em largura lexicográfica, para criar um modelo de intervalo para um grafo de intervalo G .

Palavras chave: Teoria dos Grafos, grafos de intervalo, modelo de intervalo, algoritmo.

1. Introdução

A Teoria dos Grafos é uma área fundamental da matemática que tem aplicabilidade em diversos campos, como a ciência da computação, biologia, redes de comunicação, entre outros. Grafos são capazes de representar relações entre objetos e o estudo dessas estruturas pode possibilitar a resolução de problemas complexos de maneira eficiente.

Um grafo G é um par ordenado $G = (V(G), E(G))$, que consiste de um conjunto $V(G)$ de vértices e um conjunto $E(G)$ de arestas de forma que $E(G) \subseteq [V(G)]^2$. Denotamos uma aresta que liga um vértice u a um vértice v por (u, v) . Dois vértices são ditos adjacentes se são incidentes à mesma aresta. Um subgrafo de um grafo $G = (V(G), E(G))$ é um grafo $G' = (V'(G'), E'(G'))$ tal que $V' \subseteq V$ e $E' \subseteq E$. Se G' contém todas as arestas $(u, v) \in E$ com $u, v \in V'$, então G' é um subgrafo induzido de G , denotado por $G[V']$. Dizemos que V' induz ou gera G' em G . Uma clique C de um grafo G é um subconjunto de vértices de G em que cada par de vértices em C é adjacente.

Um grafo G é um grafo de intervalo se $V(G)$ pode ser representado através de um modelo de interseção de intervalos na reta real. Grafos de intervalo podem modelar contextos que requerem a construção de uma linha do tempo onde cada evento corresponde um intervalo representando a sua duração [4]. Sendo assim, o estudo dos grafos de intervalo possui diversas aplicações práticas em problemas de escalonamento, alocação de recursos e análise de bioinformática, onde a interseção de intervalos representam um

conceito central. Um grafo de intervalo pode ser representado por uma estrutura de dados conhecida como PQ-tree [2].

Um *conjunto independente* em um grafo G é um subconjunto de vértices tal que nenhum dos vértices desse subconjunto está conectado entre si por uma aresta. O conjunto independente será *maximal* se não é possível adicionar nenhum vértice a I de forma que se mantenha a propriedade de independência. I será *máximo* se for o maior conjunto independente possível de G . A cardinalidade de um conjunto independente máximo em um grafo G é o *número de independência* de G , denotado por $\alpha(G)$.

Embora encontrar o conjunto independente máximo seja bastante útil em diversos contextos, a complexidade computacional do problema de decisão é NP-completa para grafos arbitrários [6]. Devido à complexidade inerente de se determinar um conjunto independente máximo em grafos, os pesquisadores têm focado em restringir as características desses grafos, buscando determinar $\alpha(G)$ quando G pertence a subclasses específicas, o pode ter complexidade diferente de acordo com o problema. Por exemplo, existem algoritmos que resolvem o problema em tempo linear quando G é uma árvore [9] ou quando G é um grafo de intervalo [7].

O *grafo ciclo*, conhecido como C_n , é um grafo com n vértices, onde $n \geq 3$, cujos vértices podem ser arranjados em uma sequência cíclica de tal forma que dois vértices são adjacentes se eles são consecutivos na sequência e não são adjacentes caso contrário. Um grafo G é *cordal* se todo ciclo de G com 4 ou mais vértices possui uma aresta entre vértices não consecutivos do ciclo. Seja G um grafo com n vértices. Um vértice v é *simplicial* se $N_G(v)$ for uma clique. Um *esquema de eliminação perfeita* (EEP) para G é uma sequência de vértices $\sigma = v_1, v_2, \dots, v_n$ com a propriedade de que v_i é um vértice simplicial em $G[\{v_i, \dots, v_n\}]$, para todo $i \in \{1, \dots, n\}$. Grafos cordais admitem esquemas de eliminação perfeita. Quando G é um grafo cordal, também é possível determinar o maior conjunto independente em tempo linear [7]. O algoritmo que resolve esse problema é baseado no esquema de eliminação perfeita e da orientação transitiva das arestas próprios de caracterizações de grafos cordais. A partir desse algoritmo, como grafos de intervalo formam uma subclasse dos grafos cordais, temos também outra forma de resolver o problema para grafos de intervalo.

Neste trabalho, apresentamos um algoritmo que, dado um grafo de intervalo, utiliza o EEP obtida pelo algoritmo Lex BFS para obter a sequência utilizada para posicionar cada intervalo na reta real através das operações de expansão, compressão ou translação desses intervalos.

Este texto está dividido em duas seções principais: a primeira, intitulada “Conceitos Básicos” (Seção 2), aborda definições detalhadas sobre grafos, grafos de intervalo, cliques e conjuntos. A segunda seção, “Resultados” (Seção 3), apresenta um teorema da literatura referente às condições para que um grafo seja de intervalo. Em seguida, mostramos o algoritmo apresentado em [8] utilizado para obter o EEP. Finalmente, apresentamos um algoritmo polinomial que, dado um grafo de intervalo, retorna seu modelo de intervalo na reta real.

2. Conceitos Básicos

Nesta seção, apresentaremos uma fundamentação teórica necessária para o entendimento do restante do trabalho. Algumas notações e definições presentes neste artigo

foram retiradas de Bondy e Murty [1] e Cormen et al [3].

Um *caminho em um grafo* $G = (V(G), E(G))$ é uma sequência de vértices v_1, v_2, \dots, v_k tal que, para cada i (onde $1 \leq i < k$), existe uma aresta $(v_i, v_{i+1}) \in E$. Um *grafo caminho* P_n é um tipo de grafo no qual os vértices formam uma sequência linear, sem ciclos, e cada vértice está conectado a, no máximo, dois outros vértices. Um grafo é considerado *conexo* se existe um caminho entre qualquer par de vértices, caso contrário ele é chamado *desconexo*. Um *grafo ciclo* C_n é um grafo no qual os vértices formam uma sequência fechada, ou seja, é uma sequência de vértices v_1, v_2, \dots, v_n tal que cada vértice v_i (para $1 \leq i < n$) está conectado a v_{i+1} , e v_n está conectado de volta a v_1 . Em um grafo ciclo, cada vértice é adjacente a exatamente dois outros vértices, formando uma estrutura circular sem arestas múltiplas nem vértices isolados.

É importante ressaltar que um grafo simples não possui *laços* (arestas que contêm vértices não-distintos) e nem *multi-arestas* (arestas idênticas), por definição. Utilizaremos apenas a notação *grafo* quando formos nos referir a um grafo simples. Considere (u, v) uma aresta de um grafo. Diremos que u e v são *adjacentes* caso estejam conectados pela aresta (u, v) . Ainda, considere que (u, v) é considerado *incidente* a u e a v se a aresta (u, v) está conectada a ambos os vértices u e v . A *vizinhança aberta* (ou, simplesmente, *vizinhança*) de $v \in V(G)$ é o conjunto de todos os vértices adjacentes a esse vértice, excluindo o vértice de referência, ou seja, $N(v) = \{w \mid (v, w) \in E(G)\}$. Denominamos *grau* $d_G(v)$ ou $d(v)$ de um vértice $v \in V(G)$ o número de arestas incidentes a este vértice.

Seja $r \geq 2$. Diremos que um grafo G é *r-partido* se $V(G)$ admitir uma partição em r conjuntos independentes tal que cada aresta possui seus extremos em partições diferentes. Chamamos o grafo 2-partido de *bipartido*. Um *grafo completo* é um grafo com n vértices no qual há uma aresta entre cada par de vértices distintos. Um grafo *bipartido completo*, representado por $G[X, Y]$, é composto por dois conjuntos de vértices, X e Y , onde cada vértice em X está conectado a todos os vértices em Y e vice-versa. Se o conjunto X tem m vértices e o conjunto Y tem n vértices, o grafo é denotado como $K_{m,n}$. Um *grafo estrela* S_n é um grafo bipartido do tipo $K_{1,n}$.

Uma *clique* C é um subgrafo induzido de G que induz um grafo completo. Uma clique *maximal* é um subconjunto C de vértices tal que não existe nenhum vértice que possa ser adicionado a G de modo que se mantenha a a propriedade de completude. Uma clique será *máxima* se C é o maior conjunto possível de G . A *cardinalidade* deste conjunto é denotada por $\omega(G)$.

Um conjunto independente de três vértices em um grafo formam uma *tripla asteroidal* se, para quaisquer dois desses vértices, existir um caminho que os conecta sem passar pela vizinhança do terceiro vértice. Um grafo que não contém nenhuma tripla asteroidal é denominado grafo *sem tripla asteroidal* (STA). A seguir, considere o grafo C_6 composto por $V(G) = \{v_1, v_2, \dots, v_6\}$ e $E(G) = \{(v_1, v_2), (v_2, v_3), (v_3, v_4), (v_4, v_5), (v_5, v_6)\}$. Um conjunto possível que satisfaz as propriedades de tripla asteroidal é $\{v_1, v_3, v_5\}$, uma vez que é possível ter um caminho entre quaisquer 2 vértices v_i e v_j que não passe por $N(v_k)$, para todo $i, j, k \in \{v_1, v_3, v_5\}$ distinto. Veja na Figura 1 o exemplo descrito acima:

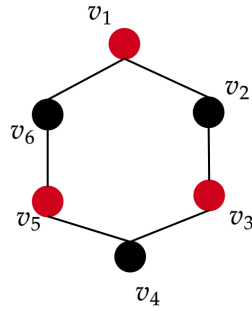


Figura 1. Uma tripla asteroidal no grafo C_6 .

Um grafo G é *livre* de um grafo específico H se e somente se G não contém nenhum subgrafo induzido que seja isomorfo a H .

Um *intervalo real fechado* entre dois pontos a e b (onde $a \leq b$) é o conjunto de todos os números reais x tais que $a \leq x \leq b$. Esse intervalo inclui os pontos extremos a e b . É denotado por $[a, b]$. Ou seja:

$$[a, b] = \{x \in \mathbb{R} \mid a \leq x \leq b\}$$

Um *intervalo real aberto* entre dois pontos a e b (onde $a < b$) é o conjunto de todos os números reais x tais que $a < x < b$. Esse intervalo não inclui os pontos extremos a e b . É denotado por (a, b) . Logo:

$$(a, b) = \{x \in \mathbb{R} \mid a < x < b\}$$

Dois conjuntos de vértices V_1 e V_2 são considerados sobrepostos se $V_1 \cap V_2 \neq \emptyset$, indicando que há vértices comuns a ambos os conjuntos. Analogamente, dois conjuntos de arestas E_1 e E_2 se sobrepõem se $E_1 \cap E_2 \neq \emptyset$, indicando a presença de arestas comuns a ambos os conjuntos.

Seja \mathcal{F} uma família de conjuntos. O *grafo de interseção* de \mathcal{F} é o grafo obtido representando-se por um vértice distinto cada conjunto de \mathcal{F} e fazendo dois de tais vértices adjacentes precisamente quando os conjuntos correspondentes têm interseção não-vazia. Note que, dada uma família \mathcal{F} , o grafo de interseção associado é bem definido, porém o contrário não é verdade: um mesmo grafo pode ser o grafo de interseção de diferentes famílias. Se G é o grafo de interseção de uma família \mathcal{F} , dizemos que \mathcal{F} é um *modelo* de G .

Um grafo G é um *grafo de intervalo* se G é o grafo de interseção de uma família \mathcal{R} de intervalos da reta real. Em outras palavras, um grafo G é um grafo de intervalo precisamente quando existir uma correspondência entre $V(G)$ e uma família de intervalos $\mathcal{R} = \{I_v \mid v \in V(G)\}$ da reta real tal que, para todo $u, w \in V(G)$ distintos, $I_u \cap I_w \neq \emptyset$ se e somente se $(u, w) \in E(G)$. Chamamos \mathcal{R} um *modelo de intervalo* de G . Um exemplo de grafo de intervalo pode ser visto na Figura 2.

Assumimos que todos os extremos de intervalo são distintos e denotamos os extremos esquerdo e direito de um intervalo I_v respectivamente por $\ell(I_v)$ e $r(I_v)$. Quando

$\ell(I_v) = r(I_v)$, diremos que I_v é *trivial*. O *tamanho* de I_v é representado por $|I_v|$ e é calculado através da seguinte fórmula : $|I_v| = r(I_v) - \ell(I_v)$. Para qualquer modelo de intervalo \mathcal{R} , assumiremos que $\ell(I_v) > 0$, para todo $I_v \in \mathcal{R}$. Por conveniência, dado um intervalo I_v de um modelo de intervalo e o vértice correspondente v , podemos usar indistintamente I_v ou v quando o contexto não criar ambiguidades.

Definimos, a seguir, as operações de expansão, compressão e translação de intervalos. Sejam \mathcal{R} um modelo de intervalo e $I = [a, b] \in \mathcal{R}$.

- A *expansão* de I é obtida por $(\mathcal{R} \setminus I) \cup I'$ onde $I' = [a - d, b + e]$, com $d, e \in \mathbb{R} \setminus I$. Intuitivamente, essa operação aumenta o comprimento do intervalo.
- A *compressão* de I é obtida por $(\mathcal{R} \setminus I) \cup I'$ onde $I' = [a + d, b - e]$, com $d, e \in I$, $d < e$. A compressão reduz o comprimento do intervalo dentro dos limites originais.
- A *translação à direita* de I é obtida por $(\mathcal{R} \setminus I) \cup I'$ onde $I' = [a + c, b + c]$ para $c \in \mathbb{R}$, $c > 0$. A *translação à esquerda* de I é obtida por $(\mathcal{R} \setminus I) \cup I'$ onde $I' = [a - c, b - c]$ para $c \in \mathbb{R}$, $c < 0$. Intuitivamente, as translações consistem em deslocar a o intervalo para uma nova posição na reta real, sem alterar seu comprimento.

Considere o grafo G com $V(G) = \{v_1, v_2, \dots, v_9\}$ e $E(G) = \{(v_1, v_3), (v_1, v_9), (v_1, v_8), (v_1, v_7), (v_1, v_4), (v_1, v_5), (v_5, v_6), (v_4, v_2)\}$. Ilustraremos a criação de um modelo de intervalo para G . Para criarmos um modelo de intervalo de G , precisamos assegurar que os intervalos correspondentes aos vértices adjacentes tenham uma interseção. Portanto, criaremos uma interseção a todos vértices adjacentes a v_1 . Temos $N(v_1) = \{v_3, v_4, v_5, v_7, v_8, v_9\}$. Note que $v_2, v_6 \notin N(v_1)$, portanto, estes não irão sobrepor o intervalo referente à v_1 , mas vão sobrepor os intervalos referentes a v_4 e v_5 . Veja na Figura 2:

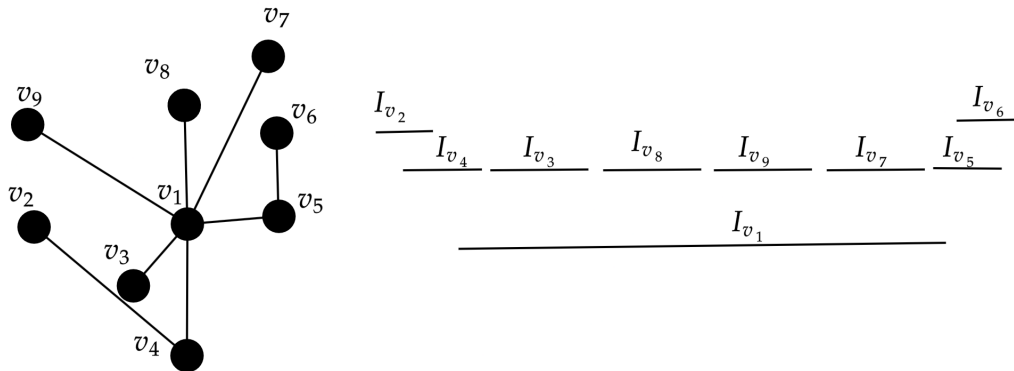


Figura 2. À esquerda, o grafo G e, à direita, um de seus modelos de intervalo.

A *complexidade computacional* é um ramo da teoria da computação que se concentra em classificar problemas computacionais de acordo com sua dificuldade inerente e relacionar essas classes entre si. Problemas de complexidade *polinomial* podem ser resolvidos por algoritmos que rodam em tempo no máximo $c \cdot n^k$, para constantes reais positivas c, k e n o tamanho da entrada. Se $k = 1$, diremos que o problema tem complexidade *linear*. Problemas de complexidade polinomial são considerados *eficientes*, pois podem ser resolvidos de forma prática na maioria dos casos. No entanto, há problemas classificados como *NP-completos*, que são considerados difíceis de serem resolvidos computacionalmente, pois ainda não se conhece um algoritmo eficiente que possam resolvê-los.

3. Resultados

Esta seção se destina à apresentação dos nossos resultados. Inicialmente, considere o seguinte teorema, demonstrado por Lekkeikerker e Boland [10].

Teorema 1 [10] *Seja G um grafo. G é um grafo de intervalo se e somente se G não possui ciclo induzido com 4 ou mais vértices e G não possui tripla asteroidal.*

Algoritmo 1: ÉGRAFODEINTERVALO(G)

Entrada: Grafo $G = (V(G), E(G))$

Saída: SIM, se G é grafo de intervalo, ou NÃO, caso contrário

```
1 para cada ciclo induzido  $C \subseteq V(G)$ ;           // Checa se  $G$  é cordal.
2 faça
3   | se  $|C| \geq 4$  então
4   |   | retorna NÃO
5   | fim
6 fim
7 para cada tripla de vértices  $u, v, w \in V(G)$ ;   // Checa se  $G$  não possui
   | triplas asteroidais.
8 faça
9   | se existe um caminho entre  $u$  e  $v$  em  $G - N(w)$ 
10  | e existe um caminho entre  $u$  e  $w$  em  $G - N(v)$ 
11  | e existe um caminho entre  $v$  e  $w$  em  $G - N(u)$ 
12  | então
13  |   | retorna NÃO
14  | fim
15 fim
16 retorna SIM
```

Dado um grafo G qualquer, utilizando a caracterização apresentada no Teorema 1 podemos decidir se G é um grafo de intervalo por meio do Algoritmo 1.

Considere que o grafo G de entrada para o Algoritmo 1 possua n vértices e m arestas. As linhas 1 a 3 checam se G possui ciclos induzidos com 4 ou mais vértices. Tal checagem pode ser executada com uma modificação do algoritmo de busca em profundidade, que executa em em $O(n + m)$.

As linhas 4 a 6 testam se G possui uma tripla asteroidal. Dado que o número de vértices de G é n , temos um total de $\binom{n}{3}$ triplas possíveis. Isso resulta em uma complexidade de $O(n^3)$.

Por fim, na linha 7 o algoritmo simplesmente retorna que de fato G é um grafo de intervalo. A complexidade total do Algoritmo 1 é então da ordem de $O(n^3)$, que é polinomial.

Uma vez obtido o retorno SIM do Algoritmo 1, prosseguimos para a construção do modelo de intervalo. Para tal, utilizaremos busca em largura lexicográfica [8], discutida a seguir.

O Algoritmo de Busca em Largura Lexicográfica (Lex BFS) atribui rótulos aos

vértices de um grafo de maneira ordenada, priorizando os vértices que possuem adjacências entre si. Inicialmente, o algoritmo rotula os vértices com \emptyset , indicando que nenhum vértice tem prioridade de escolha inicial. Em seguida, o algoritmo processa os vértices em ordem decrescente, começando com um valor i igual ao número de vértices do grafo e, a cada iteração, reduz i até 1.

Sendo assim, ao final do algoritmo, obtemos uma ordem linear, onde cada vértice recebe um número a partir do maior valor disponível. Em cada iteração, o algoritmo seleciona o vértice não numerado que possui o maior rótulo acumulado. Ao atribuir ao vértice v o número i , indicamos a posição desse vértice na ordem final. O algoritmo, em seguida, atualiza os rótulos dos vértices adjacentes a v , incrementando o rótulo de cada vizinho não numerado com o valor de i , permitindo que os vértices mais próximos de v se tornem candidatos prioritários a serem rotulados nas próximas iterações.

Ao final do algoritmo, obtemos uma ordenação dos vértices de G correspondente a um esquema de eliminação perfeita. O algoritmo pode ser descrito conforme as seguintes etapas:

Algoritmo 2: LEXBFS(G)

Entrada: Grafo $G = (V(G), E(G))$ com n vértices

Saída: Uma ordem σ dos vértices de G

```

1 para cada  $v \in V(G)$  faça
2   |  $r(v) \leftarrow \emptyset$ ;    // Inicializa o rótulo de cada vértice como vazio
3 fim
4 para  $i \leftarrow n$  até 1 faça
5   | Selecione: Escolha um vértice  $v$  não numerado com o maior rótulo  $r(v)$ ;
6   |  $\sigma(v) \leftarrow i$ ;           // Atribui o número  $i$  ao vértice  $v$ 
7   | Atualize: para cada  $w \in N(v)$  não numerado faça
8   |   |  $r(w) \leftarrow r(w) \cup \{i\}$ ;    // Adiciona  $i$  ao rótulo do vértice  $w$ 
9   |   fim
10 fim
11 retorna  $\sigma$ ;                // Retorna a ordem dos vértices

```

Considere novamente que o grafo G de entrada para o Algoritmo 2 possua n vértices. A linha 1 é executada para cada vértice de G , o que resulta em um tempo de execução $O(n)$. A linha 2 é repetida de n até 1, o que totaliza $O(n)$ passos. A linha 3 requer encontrar um vértice não numerado com maior rótulo. Podemos encontrar tal vértice simplesmente fazendo uma busca linear em cada vértice, em tempo $O(n)$. A linha 4 é simplesmente uma atribuição, que usa tempo $O(1)$. A linha 5 atualiza rótulos dos vizinhos, logo requer $O(\Delta)$ passos, onde Δ é o grau máximo de G . Assim, o laço de repetição do bloco das linhas 2 a 5 tem complexidade $O(n^2)$. O passo 5 é apenas um retorno, que executa em tempo constante $O(1)$. A complexidade total então é a soma das complexidades de todos os passos, sendo da ordem de $O(n^2)$, que é polinomial.

A partir do Lex BFS, podemos obter um esquema de eliminação perfeita, uma vez que todo grafo de intervalo é um grafo cordal. Veja na Figura 3 o EEP referente ao grafo S_7 .

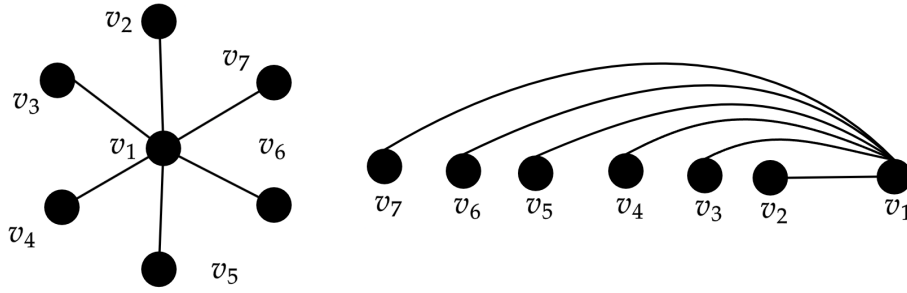


Figura 3. À esquerda, o grafo S_7 e, à direita, seu EEP.

A partir da ordenação obtida do Lex BFS, dado um grafo G de intervalo, utilizaremos esta ordem para construir um modelo de intervalo de G . Veja abaixo o algoritmo de construção de um modelo de intervalo.

Algoritmo 3: GERAMODELOINTERVALO(G)

Entrada: Grafo de intervalo $G = (V(G), E(G))$

Saída: Modelo de intervalo \mathcal{R} de G

- 1 Seja $\sigma = (v_1, v_2, \dots, v_n)$ um EEP retornado pelo algoritmo LEXBFS(G);
 - 2 $I_n \leftarrow [0, 1]$;
 - 3 **para** $i \leftarrow n - 1$ **até** 1 **faça**
 - 4 $G' \leftarrow G[v_{i+1}, \dots, v_n]$;
 - 5 $\mathcal{S}_A \leftarrow \{j \in \{i+1, \dots, n\} \mid v_j \in N_{G'}(v_i)\}$;
 - 6 $\mathcal{S}_{\bar{A}} \leftarrow \{i+1, \dots, n\} \setminus \mathcal{S}_A$;
 - 7 $I_C \leftarrow \bigcap_{j \in \mathcal{S}_A} I_j$;
 - 8 $I_F \leftarrow I_C \setminus \left(\bigcup_{j \in \mathcal{S}_{\bar{A}}} I_j \right)$;
 - 9 **se** $I_F = \emptyset$ **então**
 - 10 Sem criar novas sobreposições, expanda I_j , para todo $j \in \mathcal{S}_A$ ou
 comprima $I_{j'}$, para todo $j' \in \mathcal{S}_{\bar{A}}$ até $I_F \neq \emptyset$;
 - 11 **fim**
 - 12 Posicione I_i em alguma porção contígua mais à esquerda de I_F .
 - 13 **fim**
 - 14 **retorna** $\mathcal{R} = \{I_1, I_2, \dots, I_n\}$; // Retorna o modelo de intervalo
-

Teorema 2 *Seja G um grafo de intervalo. O Algoritmo 3 quando executado sobre G produz corretamente um modelo de intervalo \mathcal{R} para G .*

Seja $\sigma = (v_1, v_2, \dots, v_n)$ um EEP retornado pelo algoritmo LEXBFS(G). O Algoritmo 3 percorre a sequência σ de v_n até v_1 , para determinar o intervalo I_i correspondente ao vértice v_i . O passo base ocorre na Linha 2, onde I_n recebe $[0, 1]$, o que é um modelo de intervalo válido para $G[v_n]$. Por hipótese de indução, considere que $\mathcal{R}' = \{I_{i+1}, \dots, I_n\}$ seja um modelo de intervalo para $G' = G[v_{i+1}, \dots, v_n]$. Vamos mostrar que $\mathcal{R} = \{I_i, \dots, I_n\}$ é um modelo de intervalo para $G[v_i, \dots, v_n]$.

Na Linha 5 definimos o conjunto \mathcal{S}_A de índices j tais que v_j é adjacente a v_i em G' e na Linha 6 definimos o conjunto $\mathcal{S}_{\bar{A}}$ de índices j tais que v_j não é adjacente a v_i em G' . A

ideia é criar interseção entre I_i e I_j para todo $j \in \mathcal{S}_A$ e não criar interseção entre I_i e I_j para todo $j \in \mathcal{S}_{\bar{A}}$. Para tal, na Linha 7 é definido I_C pela interseção dos intervalos dos vizinhos de v_i como um intervalo candidato a posicionar I_i . Sabemos que isso é possível, já que no EEP σ , o conjunto de vizinhos de v_i em G' forma uma clique. Na Linha 8, obtemos um intervalo final I_F a partir do intervalo candidato I_C , onde são removidas as porções dos intervalos dos vértices que v_i não deve intersectar. Observe que I_F pode ser vazio. Assim, na Linha 10 ajustamos o modelo expandindo os intervalos dos vizinhos de v_i para que I_F tenha possibilidade de intersectar I_i , cujo posicionamento é feito na Linha 12. Há uma expansão possível à esquerda ou à direita, graças a ausência de ciclos induzidos com 4 ou mais vértices e triplas asteroidais. Observe também que I_F pode ser composto por um ou mais intervalos disjuntos, por isso na Linha 12 escolhemos uma porção contígua de I_F para posicionar I_i . Desta maneira, como I_C garante as interseções necessárias entre vizinhos de v_i e I_F garante que não hajam interseções entre não vizinhos de v_i , concluímos o desejado.

Dado o Algoritmo 3 acima, Veja um exemplo na Figura 4 de um modelo de intervalo criado para o grafo estrela S_7 .

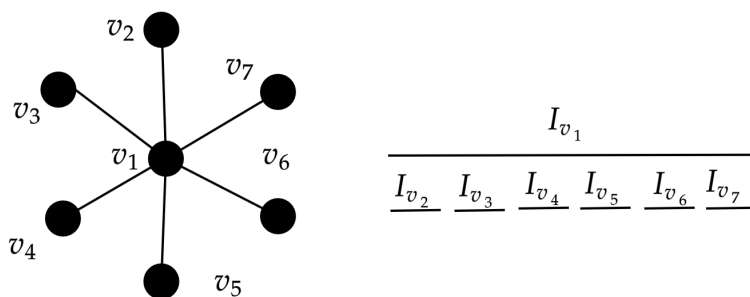


Figura 4. À esquerda, o grafo S_7 e, à direita, uma possível representação de modelo de intervalo.

Teorema 3 *Seja G um grafo de intervalo. O Algoritmo 3 quando executado sobre G produz em tempo polinomial um modelo de intervalo \mathcal{R} para G .*

A Linha 1 chama o Algoritmo 2 como subrotina, que usa tempo $O(n^2)$. A Linha 2 realiza apenas uma atribuição dos extremos de I_n , o que requer tempo constante. O laço de repetição da Linha 3 é executado para $n - 1$ vértices. Vamos analisar a complexidade de cada uma dessas iterações. As atribuições das Linhas 4 a 6 dependem de $n - i$ vértices, tendo complexidade $O(n)$. As Linhas 7 e 8, embora calculem uniões e interseções de intervalos também requerem tempo $O(n)$ uma vez que precisamos apenas dos pontos extremos de cada intervalo. Para as Linhas 9 a 11 devem ser expandidos $\Theta(|\mathcal{S}_A|)$ intervalos, uma vez que temos que produzir um intervalo I_F com a interseção de todos os intervalos vizinhos de v_i não vazia para posicionar I_i . Para expandir cada um deles sem criar novas sobreposições precisa-se checar as extremidades de cada outro intervalo, o que requer $O(n)$ operações, logo as Linhas 9 a 11 requerem tempo $O(n^2)$. Após isso, a Linha 12 determina as extremidades de I_i a fim de posioná-lo em I_F o que requer tempo constante. Em suma, cada bloco das Linhas 4 a 12 gasta tempo $O(n^3)$, repetidos $O(n)$ vezes temos um tempo total de execução do Algoritmo 3 da ordem de $O(n^4)$.

4. Considerações Finais

Neste artigo, desenvolvemos um algoritmo que, dado um grafo de intervalo, utiliza o EEP obtida pelo algoritmo Lex BFS para obter a sequência utilizada para posicionar cada intervalo na reta real através das operações de expansão, compressão ou translação desses intervalos.

Além disso, em outro trabalho, implementamos um algoritmo, proposto por Feofiloff [5], em linguagem *python* que tem como objetivo identificar e extrair intervalos disjuntos a partir de uma lista de intervalos. Para isso, o algoritmo cria uma lista vazia *SCD*, ordena os intervalos em ordem crescente e adiciona, inicialmente, sempre o menor intervalo à lista. Após isso, o algoritmo sempre verifica se o último intervalo adicionado possui interseção com o próximo intervalo a ser adicionado, o que equivale a descobrir o conjunto independente máximo em um grafo de intervalo, uma vez que todos os intervalos da lista *SCD* são disjuntos. A implementação pode ser encontrada em: <https://github.com/AnaCarolynePds/Descobrimdo-alpha-G-em-um-grafo-de-intervalo>.

Como trabalho futuro, sugerimos a implementação de algoritmos para outros problemas em grafos, como encontrar a clique máxima e uma k -coloração para um grafo de intervalo.

Referências

- [1] J. A. Bondy and U. S. R. Murty. *Graph theory*. Springer Publishing Company, Incorporated, 2008.
- [2] K. S. Booth and G. S. Lueker. Testing for the consecutive ones property, interval graphs, and graph planarity using pq-tree algorithms. *Journal of computer and system sciences*, 13(3):335–379, 1976.
- [3] T. H. Cormen. *Algorithms unlocked*. Editora Campus, 2013.
- [4] F. de Souza Oliveira. *Sobre Ordens e Grafos de Intervalo*. PhD thesis, Universidade Federal do Rio de Janeiro, 2011.
- [5] P. Feofiloff. Minicurso de análise de algoritmos. *Departamento de Ciência da Computação, Instituto de Matemática e Estatística, Universidade de São Paulo*, 2017. Disponível em: <https://www.ime.usp.br/~pf/livrinho-AA/>.
- [6] M. R. Garey and D. S. Johnson. *Computers and Intractability: A Guide to the Theory of NP-Completeness*. W. H. Freeman and Co., New York, USA, 1979.
- [7] F. Gavril. Algorithms for minimum coloring, maximum clique, minimum covering by cliques, and maximum independent set of a chordal graph. *SIAM Journal on Computing*, 1(2):180–187, 1972.
- [8] M. C. Golumbic. *Algorithmic graph theory and perfect graphs*. Elsevier, 2004.
- [9] J. Kleinberg and E. Tardos. *Algorithm design*. Pearson Education India, 2006.
- [10] C. Lekkekerker and J. Boland. Representation of a finite graph by a set of intervals on the real line. *Fundamenta Mathematicae*, 1962.